

# Спектральный анализ электрических сигналов

Луговцов Глеб  
ФЭФМ МФТИ  
[lugovtsov.gs@phystech.edu](mailto:lugovtsov.gs@phystech.edu)

## Аннотация

В работе изучается спектральный состав периодических электрических сигналов различной формы: цугов, прямоугольных импульсов и модулированных по амплитуде сигналов; спектры этих сигналов наблюдаются на цифровом анализаторе спектра и сравниваются с рассчитанными теоретическими значениями.

# 1 Введение

В последнее время повсеместное распространение получила цифровая обработка сигналов. Спектральный состав оцифрованного сигнала может быть найден с помощью компьютера и численных методов. Этим принципом мы и будем пользоваться в своей работе.

## 2 Теоретическая справка

### Разложение сложных сигналов на периодические колебания

Используется разложение в сумму синусов и косинусов с различными аргументами или, как чаще его называют, *разложение в ряд Фурье*.

Пусть задана функция  $f(t)$ , которая периодически повторяется с циклической частотой  $\Omega_1 = \frac{2\pi}{T}$ , где  $T$  — период повторения импульсов. Её разложение в ряд Фурье имеет вид

$$f(t) = \frac{a_0}{2} + \sum_{n=1}^{\infty} [a_n \cos(n\Omega_1 t) + b_n \sin(n\Omega_1 t)] \quad (1)$$

или

$$f(t) = \frac{a_0}{2} + \sum_{n=1}^{\infty} A_n \cos(n\Omega_1 t - \psi_n). \quad (2)$$

Если сигнал чётен относительно  $t = 0$ , в тригонометрической записи остаются только члены с косинусами. Для нечетной наоборот.

Коэффициенты определяются по формуле

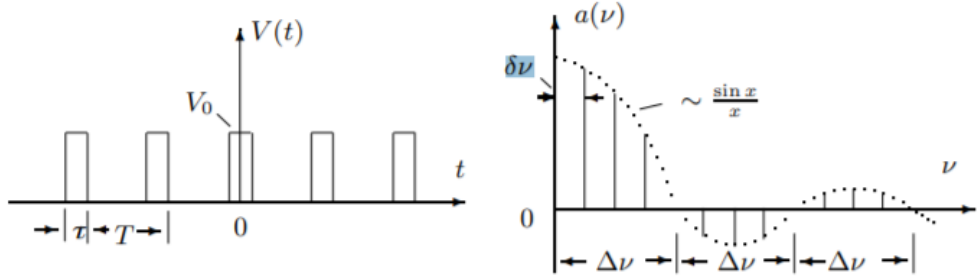
$$\begin{aligned} a_n &= \frac{2}{T} \int_{t_1}^{t_1+T} f(t) \cos(n\Omega_1 t) dt, \\ b_n &= \frac{2}{T} \int_{t_1}^{t_1+T} f(t) \sin(n\Omega_1 t) dt. \end{aligned} \quad (3)$$

Здесь  $t_1$  — время, с которого мы начинаем отсчет.

Сравнив формулы (1) и (2) можно получить выражения для  $A_n$  и  $\psi_n$ :

$$\begin{aligned} A_n &= \sqrt{a_n^2 + b_n^2}, \\ \psi_n &= \arctan \frac{b_n}{a_n}. \end{aligned} \quad (4)$$

## Периодическая последовательность прямоугольных импульсов



Напомним, что  $\Omega_1 = \frac{2\pi}{T}$ , где  $T$  – период повторения импульсов.

Коэффициенты при косинусных составляющих будут равны

$$a_n = \frac{2}{T} \int_{-\tau/2}^{\tau/2} V_0 \cos(n\Omega_1 t) dt = 2V_0 \frac{\tau}{T} \frac{\sin(n\Omega_1 \tau/2)}{n\Omega_1 \tau/2} \sim \frac{\sin x}{x}. \quad (5)$$

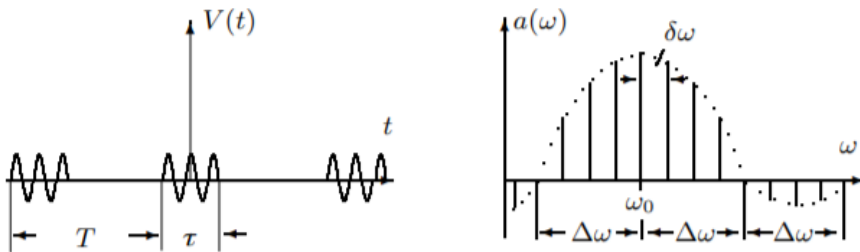
Здесь  $V_0$  – амплитуда сигнала.

Поскольку наша функция четная, то  $b_n = 0$ .

Пусть  $T$  кратно  $\tau$ . Тогда введем ширину спектра, равную  $\Delta\omega$  – расстояние от главного максимума до первого нуля огибающей, возникающего, как нетрудно убедиться при  $n = \frac{2\pi}{\tau\Omega_1}$ . При этом

$$\Delta\omega\tau \simeq 2\pi \Rightarrow \Delta\nu\Delta t \simeq 1. \quad (6)$$

## Периодическая последовательность цугов



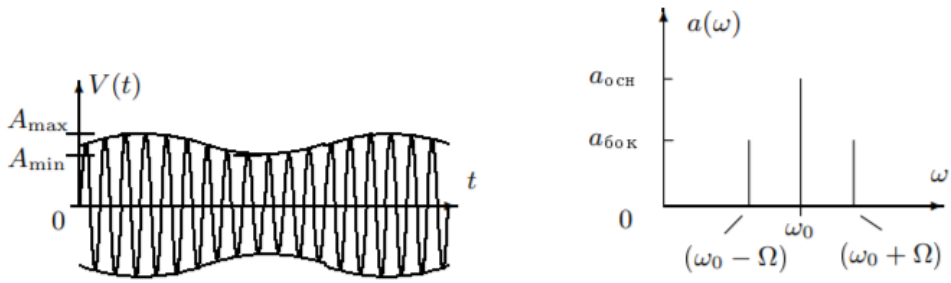
Возьмём цуги колебания  $V_0 \cos(\omega_0 t)$  с длительностью цуга  $\tau$  и периодом повторений  $T$ .

Функция  $f(t)$  снова является четной относительно  $t = 0$ . Коэффициент при  $n$ -ой гармонике согласно формуле (3) равен

$$a_n = \frac{2}{T} \int_{-\tau/2}^{\tau/2} V_0 \cos(\omega_0 t) \cdot \cos(n\Omega_1 t) dt = V_0 \frac{\tau}{T} \left( \frac{\sin[(\omega_0 - n\Omega_1)\frac{\tau}{2}]}{(\omega_0 - n\Omega_1)\frac{\tau}{2}} + \frac{\sin[(\omega_0 + n\Omega_1)\frac{\tau}{2}]}{(\omega_0 + n\Omega_1)\frac{\tau}{2}} \right). \quad (7)$$

Пусть  $T$  кратно  $\tau$ . Тогда спектры последовательности прямоугольных сигналов и цугов аналогичны, но максимумы сдвинуты на  $\omega_0$ .

## Амплитудно-модулированные колебания



Рассмотрим гармонические колебания высокой частоты  $\omega_0$ , амплитуда которых медленно меняется по гармоническому закону с частотой  $\Omega \ll \omega_0$ .

$$f(t) = A_0 [1 + m \cos \Omega t] \cos \omega_0 t. \quad (8)$$

Коэффициент  $m$  называется *глубиной модуляции*. При  $m < 1$  амплитуда меняется от минимальной  $A_{min} = A_0(1-m)$  до максимальной  $A_{max} = A_0(1+m)$ . Глубина модуляции может быть представлена в виде

$$m = \frac{A_{max} - A_{min}}{A_{max} + A_{min}}. \quad (9)$$

Простым тригонометрическим преобразованием уравнения (8) можно найти спектр колебаний

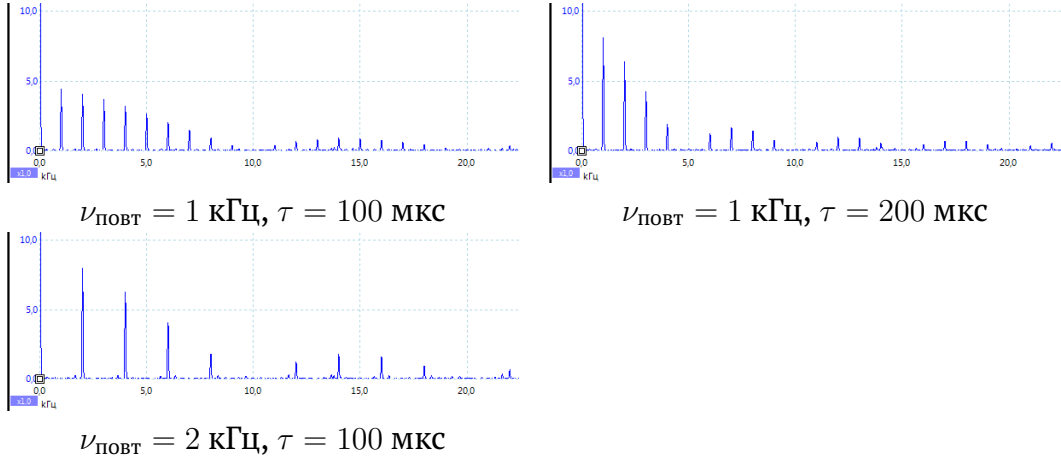
$$f(t) = A_0 \cos \omega_0 t + \frac{A_0 m}{2} \cos (\omega_0 + \Omega) t + \frac{A_0 m}{2} \cos (\omega_0 - \Omega) t. \quad (10)$$

### 3 Ход работы

#### Исследование спектра периодических последовательностей прямоугольных импульсов

Устанавливаем прямоугольные колебания с  $\nu_{повт} = 1$  кГц (период  $T = 1$  мс) и длительностью импульса  $\tau = 100$  мкс.

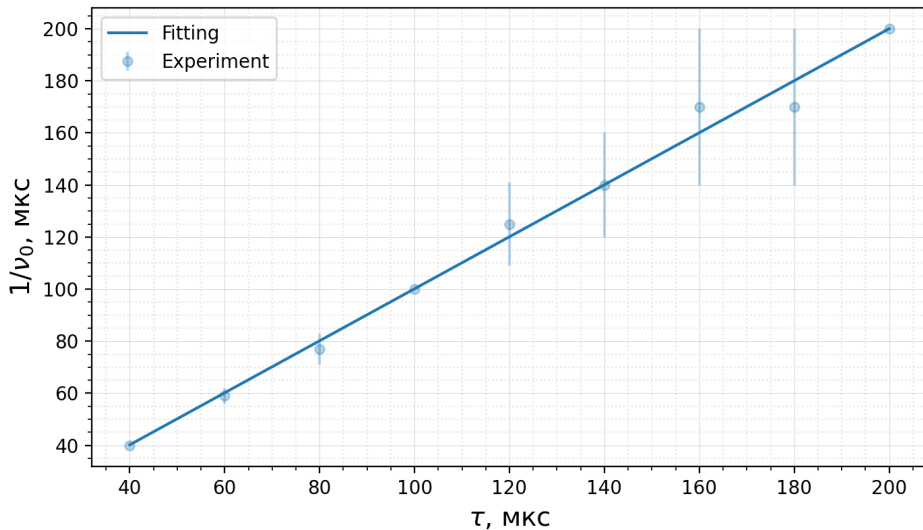
Получаем на экране спектр сигнала и, изменяя либо  $\tau$ , либо  $\nu_{повт}$ , наблюдаем, как изменяется спектр.



Из данных видно, что, при увеличении  $\tau$ , уменьшается  $\Delta\nu$ , а при увеличении  $\nu_{\text{повт}}$ , увеличивается расстояние между пиками.

Измерим зависимость  $\Delta\nu$  от  $\tau$ :

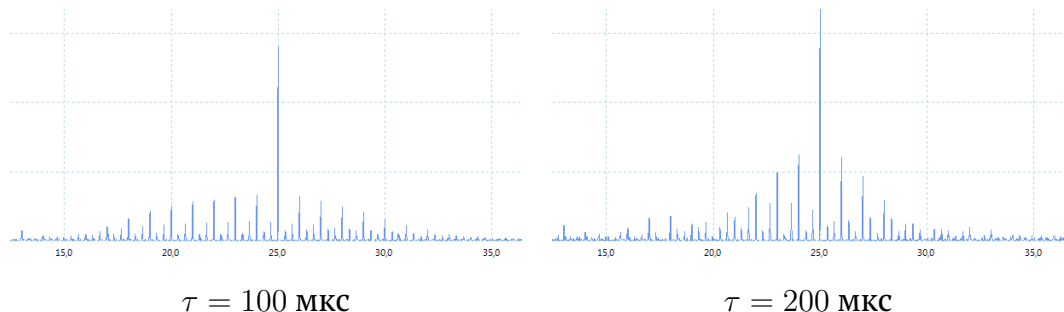
$\tau$ , мкс	$\nu_0$ , кГц	$\Delta\nu_0$ , кГц	$1/\nu_0$ , мкс	$\Delta 1/\nu_0$ , мкс
40.0	30	30	40.0	0
60.0	17	17	59	3
80.0	13	13	77	6
100.0	10	10	100.0	0
120.0	8	8	125	16
140.0	7	7	140	20
160.0	6	6	170	30
180.0	6	6	170	30
200.0	5	5	200.0	0



Из графика  $\Delta\nu \cdot \tau = 1.004 \pm 0.014$ , что подтверждает соотношение неопределенностей.

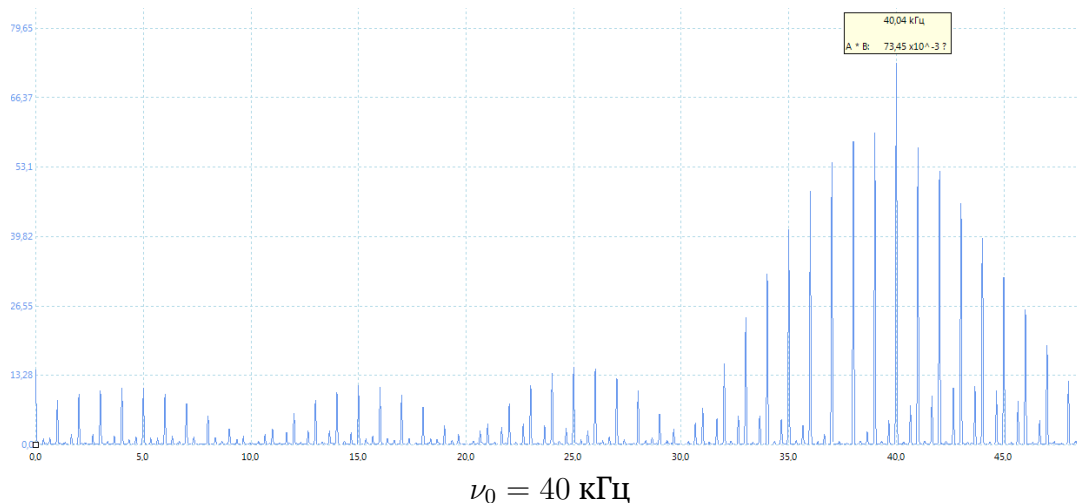
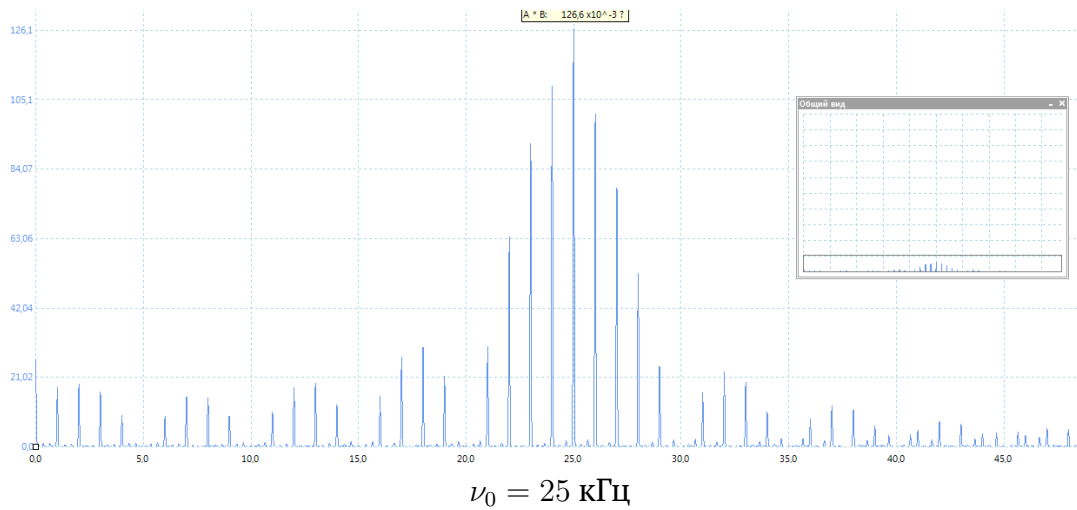
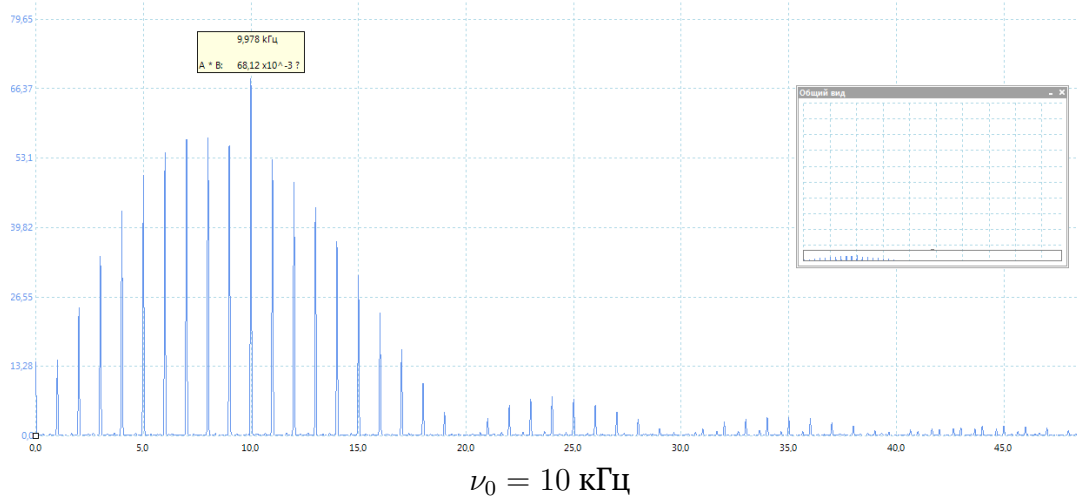
## Исследование спектра периодической последовательности цугов

Посмотрим на последовательность цугов с характерными параметрами:  $\nu_0 = 50$  кГц частота повторения импульсов  $f_{\text{повт}} = 1$  кГц и исследуем спектр этого сигнала для разных длительностей импульса:



Из данных видно, что при изменении  $\tau$  значение  $\Delta\omega$  обратнопропорционально меняется.

Рассмотрим поведение спектрограммы при фиксированном значении  $\tau$  и меняющемся значении  $\nu_0$ :



Из данных видно, что при изменении  $\nu_0$  картина смещается без изменения расстояния между спектральными компонентами.

Рассмотрим то, как это расстояние меняется при изменении  $f_{\text{повт}}$ :

$f_{\text{повт}}$	$\nu, \text{кГц}$
0.5	0.5
1.0	1.0
2.0	2.0
4.0	4.0
5.0	5.0

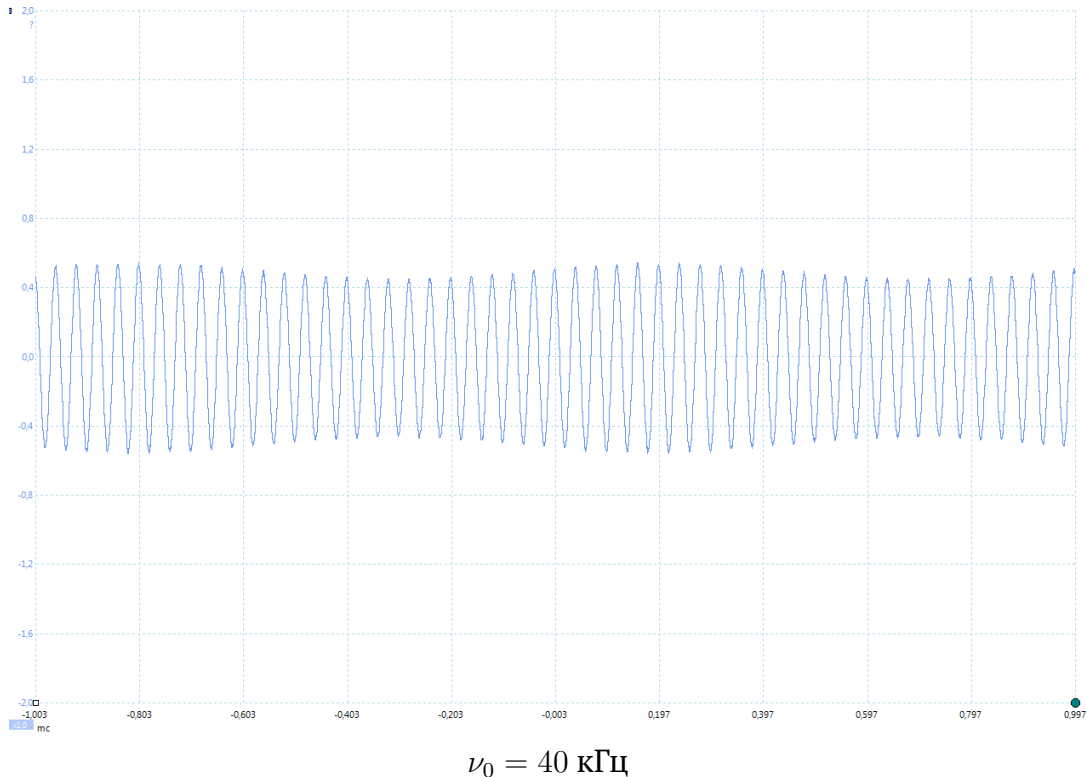
Погрешность результатов определяется погрешностью генератора – 0.5 Гц.

$$\frac{f_{\text{повт}}}{\nu, \text{кГц}} = 1 \pm 0.1\%,$$

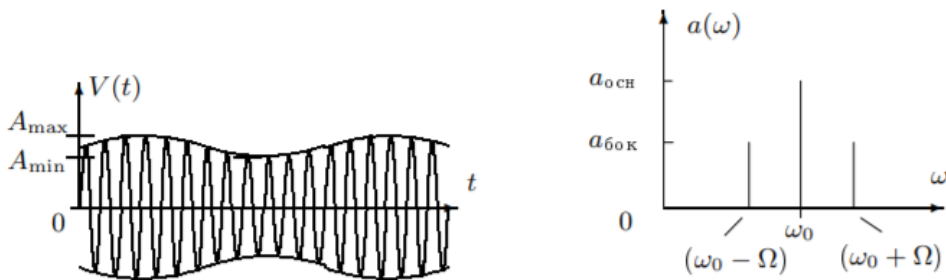
что согласуется с теорией.

## Исследование спектра амплитудно модулированного сигнала

Рассмотрим амплитудно промодулированную синусоиду с параметрами  $\nu_0 = 25\text{кГц}$ ,  $\nu_{\text{мод}} = 1\text{кГц}$ :



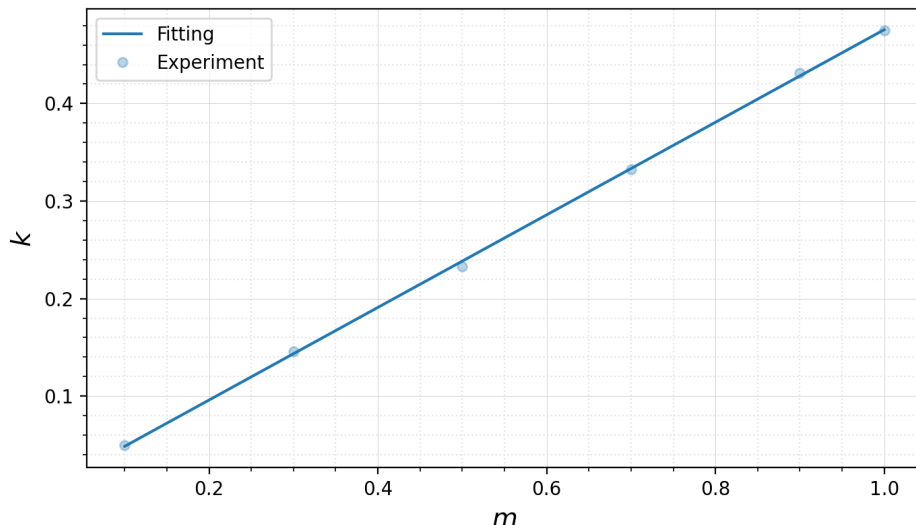
Посмотрим на спектрограмму этого сигнала:  
 <тут должен быть скрин со спектрограммой, но у меня его нет>



Посмотрим зависимость отношения амплитуд  $k = A_{\text{бок}}/A_{\text{осн}}$  у боковых и остойной частоты от параметра  $m = (A_{\text{max}} - A_{\text{min}})/(A_{\text{max}} + A_{\text{min}})$ .

$A_{\text{max}} - A_{\text{min}}, \text{В}$	$A_{\text{бок}}, \text{В}$	$m$	$k$
0.2	0.0160	0.1	0.0497
0.6	0.0470	0.3	0.1460
1.0	0.0750	0.5	0.2329
1.4	0.1070	0.7	0.3323
1.8	0.1390	0.9	0.4317
2.0	0.1530	1.0	0.4752

$$A_{\text{осн}} = (322 \pm 0.5) \text{ мВ}, \Delta A_{\text{бок}} = 0.0005 \text{ В}, \Delta k = 0.0016$$



Из графика

$$\frac{k}{m} = 0.476 \pm 0.015,$$

что сходится с теоретическим значением 0.5.

## 4 Выводы

В данной работе мы изучили понятие спектра и спектрального анализа, а также исследовали спектральный состав периодических электрических сигналов.

А именно, мы посмотрели на прямоугольные импульсы, цуги гармонических колебаний, а также гармонические сигналы, модулированные по амплитуде. Кроме того, нами был экспериментально проверен частный случай выполнения соотношения неопределённости.